

05; 06; 07; 12

© 1992

ИССЛЕДОВАНИЕ УПРУГИХ ХАРАКТЕРИСТИК
ЭПИТАКСИАЛЬНЫХ СЛОЕВ CaF_2 НА $\text{Si}(111)$
МЕТОДОМ МАНДЕЛЬШТАМ-БРИЛЛЮЭНОВСКОЙ
СПЕКТРОСКОПИИ

В.В. Александров, А.М. Дьяконов,
Ю.Б. Потапова, Н.С. Соколов

Выращенные методом молекулярно-лучевой эпитаксии слои флюорита (CaF_2) на кремнии представляют значительный интерес для разнообразных потенциальных применений в микроэлектронике (трехмерные интегральные схемы, интеграция различных приборов на общей подложке из кремния) [1]. Для оценки кристаллического качества и упругих деформаций этих слоев применяются различные рентгеновские и оптические методы, а также обратное рассеяние ионов He^+ в условиях канализирования [1, 2].

Как было продемонстрировано в ряде работ (см., например, обзор [3]), весьма плодотворным методом исследования механических свойств пленок и слоистых структур оказывается рассеяние света Мандельштама-Бриллюэна (МБ) на поверхностных и приповерхностных фононных модах. Общий анализ [3, 4] показывает, что, изучая спектры МБ в системах тонких пленок и слоистых структур, наблюдая возбуждение или отсутствие тех или иных мод, можно судить как о структуре слоев, их толщине, так и о величине соответствующих коэффициентов упругости. На упругих свойствах пленки может оказываться как ее дефектность, так и наличие деформаций.

В работах [5, 6] с помощью МБ спектроскопии исследованы коэффициенты упругости в структурах CaF_2/Si (Ш) при различной толщине слоев CaF_2 . Обнаружено, что в пленках тоньше 150 нм коэффициенты упругости по величине оказываются меньше соответствующих значений, вычисленных с использованием коэффициентов упругости объемного материала слоя и подложки. Авторы этих работ связывают уменьшение коэффициентов упругости эпитаксиального слоя флюорита с наличием в нем дислокаций несоответствия, возникающих из-за различия постоянных решетки слоя и подложки. В работе [7] изучалась структура CoSi_2/Si (Ш), где помимо разнообразных упругих мод наблюдалось также влияние анизотропии упругих свойств подложки на величину скорости поверхностных акустических волн вдоль различных направлений в плоскости пленки.

В настоящей работе методом МБ спектроскопии исследуются структуры CaF_2/Si (Ш), причем кроме измерения соответствующих скоростей распространения ставилась задача изучения зависи-

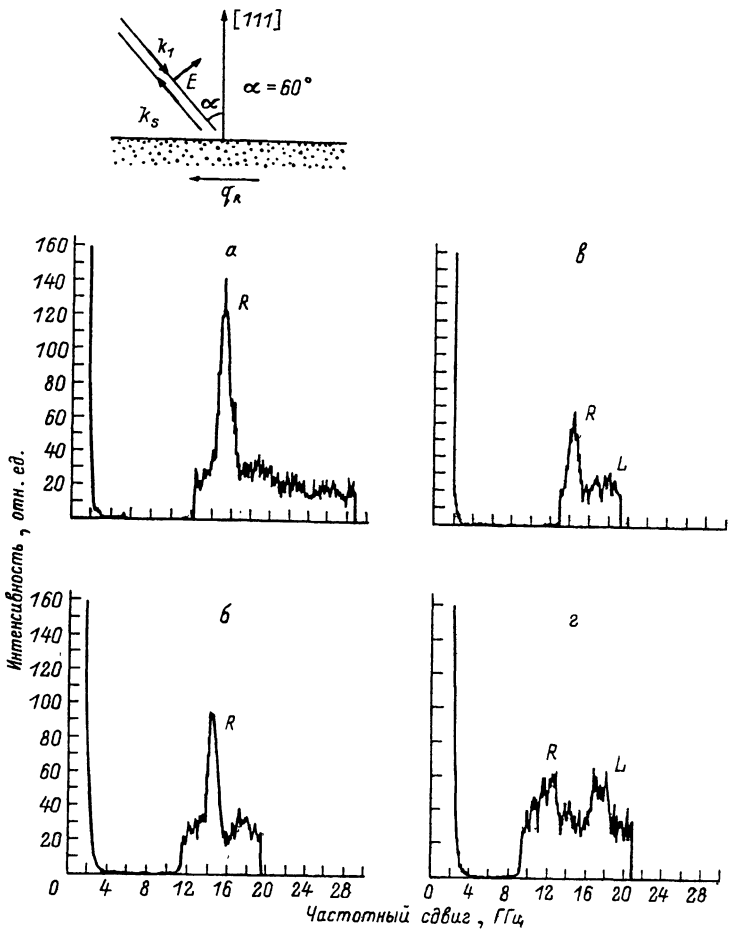


Рис. 1. Записи спектров МБ для образцов с естественной поверхностью $\text{Si}(111)$ (а) и гетероструктуры $\text{CaF}_2/\text{Si}(111)$ со слоем флюорита толщиной $h = 20$ нм (б), 30 нм (в), 100 нм (г). Электрический вектор E в падающей световой волне лежал в плоскости падения; рассеяние возбуждалось световой волной с $\lambda = 514.5$ нм. U – несмешанная компонента МБ спектра. Наличие пьедестала у МБ компонент R, L связано с применением сегментирования при сканировании интерферометра Фабри-Перо по спектру.

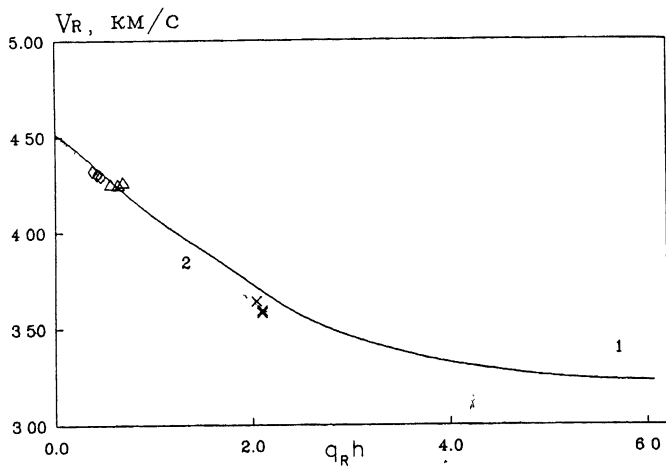


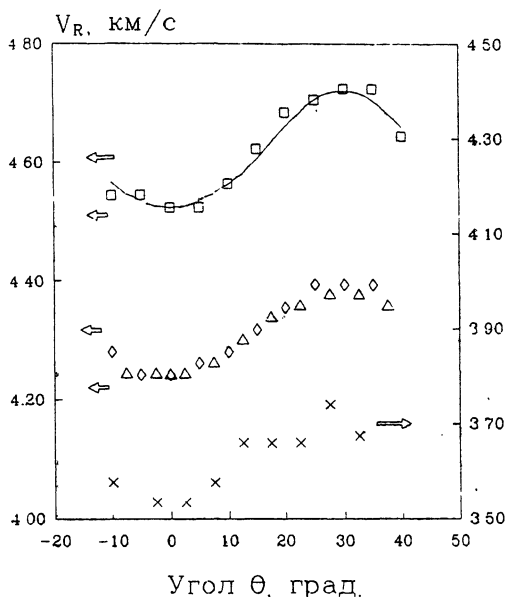
Рис. 2. Зависимость скоростей поверхностных акустических волн от $q_R h$ – нормированной толщины слоя CaF_2 для направления [110]; $h=20 \text{ нм}$ ($<$), 30 нм (Δ), 100 нм (x). 1 – (сплошная линия) дисперсионная кривая, вычисленная с использованием коэффициента объемного материала слоя и подложки; 2 – (пунктир) дисперсионная кривая, вычисленная с использованием коэффициентов упругости объемного материала подложки и экспериментально определенных значений для слоя CaF_2 толщиной 100 нм [5].

ности скорости упругих волн в плоскости пленки от анизотропных свойств подложки $\text{Si}(111)$ в этой плоскости.

Эпитаксиальные слои CaF_2 на $\text{Si}(111)$ были выращены в ФТИ им. А.Ф. Иоффе РАН методом молекулярно-лучевой эпитаксии в установке исследовательского типа [8] при температурах подложки $500\text{--}700^\circ\text{C}$. Скорость роста слоев составляла $2\text{--}3 \text{ нм}/\text{мин}$. Тяжи, наблюдаемые на картинах дифракции быстрых электронов на отражение во время роста, указывали на монокристаллический характер слоев CaF_2 , а также на гладкость их поверхности в атомном масштабе.

Для последующего изучения спектров МБ рассеяния были выбраны три структуры с толщиной слоя CaF_2 , $h=20, 30$ и 100 нм , выращенные при различных технологических условиях. Измерения, проведенные методом примесного люминесцентного зонда [2], показали, что величины упругих деформаций в плоскости слоя при комнатной температуре составляли $+1.2\%$, -0.6% и $+0.2\%$ соответственно. Величина и знак деформации в структуре с $h=30 \text{ нм}$ свидетельствовали об отсутствии в ней дислокаций несоответствия [2].

Спектральная часть работы выполнялась на кафедре физики кристаллов МГУ. Для получения спектров рассеянного света применялась спектральная установка с пятипроходным интерферометром



Угол θ , град.

Рис. 3. Зависимость скоростей поверхностных акустических волн V_R в плоскости (111) от азимута θ для образцов $Si(111)$ (\square) и гетероструктуры LaF_2/Si (111) со слоем флюорита толщины $h = 20$ нм (\diamond), 30 нм (Δ), 100 нм (\times). Сплошная линия — теоретическая кривая для поверхностной акустической волны релеевского типа, вычисленная с использованием объемных значений упругих постоянных кристалла Si . Шкала по оси ординат для образцов с $h = 20, 30$ нм приведена слева, а для образцов с $h = 100$ нм — справа.

Фабри-Перо фирмы *Burleigh* с пьезоэлектрическим сканированием по спектру и системой стабилизации и накопления данных. Источником света служил одиночастотный аргоновый лазер *Spectra Physics* модели 165-03. Рассеяние возбуждалось светом с длиной волны 514.5 нм и мощностью $\approx 50-100$ мВт. Свет, рассеянный образцами, наблюдался под углом 180° к падающему пучку. Область дисперсии составляла 56.0 Гц. коэффициент резкости при этом был ≈ 60 .

На рис. 1 приведены записи спектров МБ света, рассеянного естественной поверхностью $Si(111)$ (рис. 1, а), а также структурой LaF_2/Si (111) при различной толщине пленки h (рис. 1, б-г). В верхней части рис. 1 представлена геометрия рассеяния света. Здесь: α — угол падения света на образец, k_i , k_s , q_R — волновые векторы падающего и рассеянного света, а также поверхности гиперзвуковой волны соответственно, R — компонента рассеянного света, соответствующая обобщенным поверхностным вол-

нам релеевского типа, L – линия, соответствующая упругой волне, часть мощности которой перекачивается из пленки в подложку (волн на утечки).

Из рисунка видно, что по мере увеличения h наблюдается смещение R -компоненты в сторону меньших частот. Следует также отметить значительное изменение характера спектра рассеянного света при $h=100$ нм, когда интенсивности R и L -компонент оказались сравнимыми, и ширина R -линии заметно возросла, что, видимо, связано с изменением (по мере роста h) доминирующего механизма поверхностного рассеяния света [6].

На рис. 2 приведены результаты измерений скорости поверхностных волн V_R для всех пленок вдоль направления [110]. Эти значения вычислялись по частотным сдвигам R -компонент. Кривая 1, также представленная на рис. 2, – результат расчета по теории упругости скорости поверхности упругой волны для данной слоистой структуры. При этом использовались табличные значения коэффициентов упругости объемного материала слоя и подложки.

Из рисунка видно, что экспериментальные точки для образца с $h=30$ нм, в котором отсутствуют дислокации несоответствия, достаточно хорошо ложатся на кривую 1. В то же время отклонение экспериментальных значений скоростей V_R , полученных в случае образцов с $h=20$ и 100 нм, выходит за пределы погрешности измерений. Знак этих отклонений, как и в [5], для подобных структур с $h=65$ и 100 нм соответствует уменьшению скорости V_R . Отметим, что полученные нами экспериментальные значения V_R для $h=100$ нм хорошо ложатся на кривую 2 (показана пунктиром), построенную с использованием коэффициентов упругости, измеренных в работе [5] для структуры с такой же толщиной слоя флюорита.

В данной работе также проведено исследование влияния анизотропии упругих свойств подложки $Si(111)$ на величину скорости V_R упругих поверхностных волн, распространяющихся в плоскости пленки в различных направлениях, характеризуемых углом θ , отсчитываемым относительно кристаллографического направления [110]. На рис. 3 приведены результаты этого исследования для структуры CaF_2 с $h=20$ нм (\diamond), 30 нм (Δ), 100 нм (x), а также для естественной поверхности $Si(111)$ (\square). Сплошная кривая на рис. 3 соответствует теоретической зависимости для $Si(111)$.

Из рисунка видно, что экспериментальные точки для $Si(111)$ хорошо ложатся на эту теоретическую кривую. Для всех направлений распространения поверхностных акустических волн в плоскости (111) значение скорости V_R заметно уменьшается с увеличением h . Следует также отметить, что как в образце $Si(111)$, так и во всех исследованных структурах наблюдается заметная анизотропия V_R , причем ее величина уменьшается с увеличением h , так что в структуре с $h=100$ нм анизотропия V_R оказывается примерно в 2 раза меньше, чем в образце $Si(111)$. В настоящее время причина такого изменения анизотропии величины V_R представляется не вполне ясной. Следует выяснить,

связано ли оно с физическими причинами или с уменьшением точности в определении положения линии для структуры с $h=100$ нм.

Таким образом, в настоящей работе исследованы спектры МБ рассеяния от гетероструктур – тонкий эпитаксиальный слой CaF_2 (20–10С нм) – подложка $Si(111)$. По частотным сдвигам R -компонент МБ рассеяния определены скорости поверхностных акустических волн V_R гиперзвукового диапазона частот. В случае более совершенной структуры ($h=30$ нм) можно отметить лучшее соответствие скорости поверхностных упругих волн ее значению, вычисленному с использованием коэффициентов упругости объемного материала пленки и подложки. Впервые исследована азимутальная зависимость V_R в плоскости (111). В структурах с тонкими слоями CaF_2 (20–30 нм) величина анизотропии V_R оказалась близкой к наблюдавшейся для естественной поверхности Si . С увеличением толщины пленки как сама величина скорости, так и ее анизотропия существенно уменьшились.

Авторы благодарны Х.К. Альваресу и Н.Л. Яковлеву за выращивание образцов гетероструктур, а также И.А. Яковлеву и А.Б. Шерману за внимание к работе и поддержку.

Список литературы

- [1] Schowalter L.J., Fathauer R.W. // J. Vac. Sci. Technol. 1986. V. A4. P. 1026.
- [2] Соколов Н.С., Вихель Е., Гастев С.В., Новиков С.В., Яковлев Н.Л. // ФТТ. 1989. Т. 31. В. 2. С. 75.
- [3] Zannoni R., Bell J.A., Stegeman G.I., Seaton C.T. // Thin Solid Films. 1987. V. 154. P. 225–237.
- [4] Nizzoli F., Sandercock J.R. In: Dynamical Properties of Solids. V. 6 /Ed. by G.H. Horton, A.A. Maradudin. Nort-Holland, Amsterdam, 1990. P. 281.
- [5] Karanikas J.M., Sooryakumar R., Phillips J.M. // J. Appl. Phys. 1989. V. 65. N 9. P. 3407–3410.
- [6] Karanikas J.M., Sooryakumar R., Phillips J.M. // Phys. Rev. 1989. V. E39. N 2. P. 1388.
- [7] Elmiger M.W., Heinz J., Kanel H.V., Ospeit M., Wachter P. // Surface and Interface Analys. 1989. V. 14. P. 18–22.
- [8] Гастев С.В., Новиков С.В., Соколов Н.С., Яковлев Н.Л. // Письма в ЖТФ. 1987. Т. 13. В. 16. С. 961.